



Осциллографическая приставка к VGA-монитору

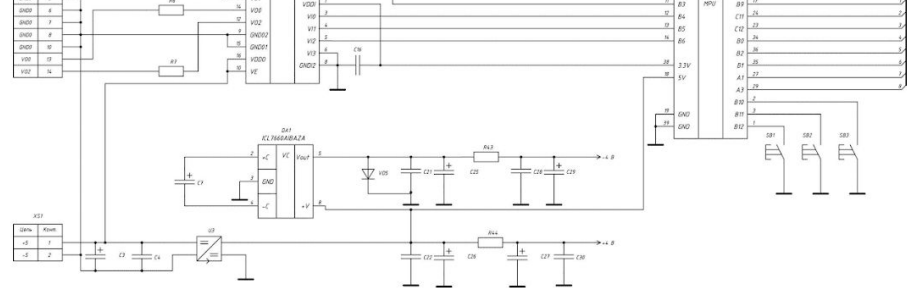
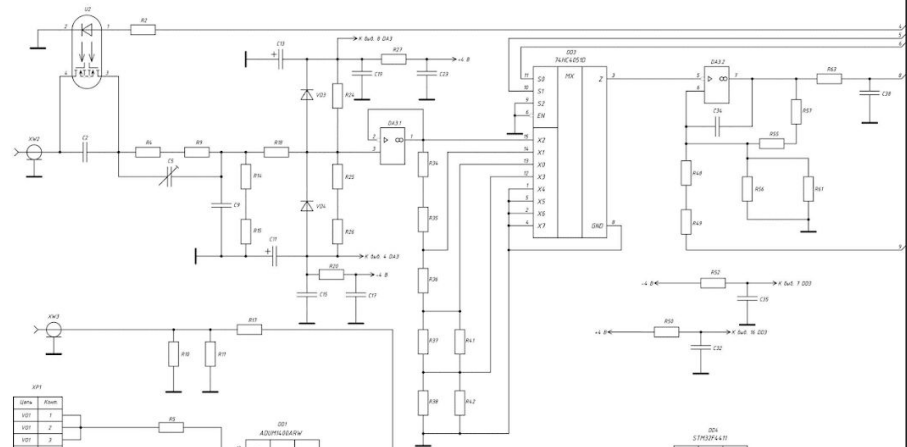
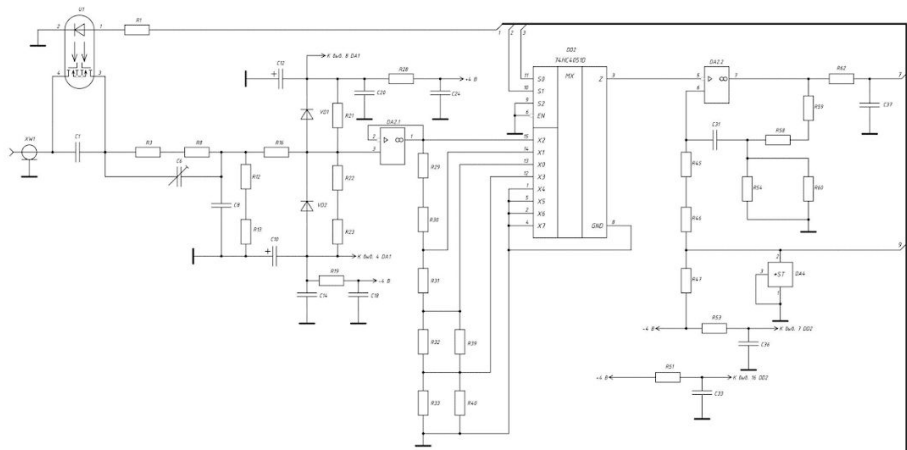
Студент группы 812601
Серкевич Артем Андреевич

Научный руководитель - магистр технических наук,
ассистент ПИКС Ерошевская Анна Сергеевна

ПРИНЦИП РАБОТЫ РАЗРАБАТЫВАЕМОГО УСТРОЙСТВА

Принцип работы цифрового осциллографа основан на преобразовании электрического сигнала в аналоговый или цифровой. В последнем случае упрощенный алгоритм будет следующим:

- входное напряжение проходит через усилитель с делителем, преобразуется с помощью АЦП в дискретную последовательность кодов;
- мгновенные значения напряжения отображаются в кодах, а затем записываются в ОЗУ. Во время записи все предыдущие отсчёты сдвигаются на одну ячейку. Процедура продолжается до тех пор, пока не будет выполнено заданное пользователем условие;
- после того, как условие выполнено, содержимое ячеек ОЗУ переписывается в запоминающее устройство;
- на экране VGA-монитора начинает появляться рисунок сигнала. Появление изображения связано с тем, что каждой ячейке запоминающего устройства соответствует точка на экране, отличающаяся по цвету от фона.



ГУИР.4.33111.018 ЭЗ

| | | | |
|---|------------|----------|----------|
| ГУИР.4.33111.018 ЭЗ | | | |
| Изм. | Лист | № докум. | Подп. |
| Разраб. | Серкевич | | |
| Проб. | Ерошевская | | |
| Т.контр. | Ерошевская | | |
| Рис. | Собчук | | |
| Н.контр. | Горбач | | |
| Утв. | Алексеев | | |
| Осциллографическая приставка к VGA-монитору | | Лит. | Масса |
| Схема электрическая принципиальная | | Т | Масштаб |
| | | Лист | Листов 1 |
| ПИКС, гр.В12601 | | | |



ГУИР.4.33111.018 Э1

| | | | |
|---|------------|----------|----------|
| ГУИР.4.33111.018 Э1 | | | |
| Изм. | Лист | № докум. | Подп. |
| Разраб. | Серкевич | | |
| Проб. | Ерошевская | | |
| Т.контр. | Ерошевская | | |
| Рис. | Собчук | | |
| Н.контр. | Горбач | | |
| Утв. | Алексеев | | |
| Осциллографическая приставка к VGA-монитору | | Лит. | Масса |
| Схема электрическая принципиальная | | Т | Масштаб |
| | | Лист | Листов 1 |
| ПИКС, гр.В12601 | | | |

Лист 1 из 1
 Стр. 1 из 1
 Лист 1 из 1
 Стр. 1 из 1

Лист 1 из 1
 Стр. 1 из 1
 Лист 1 из 1
 Стр. 1 из 1

ЭЛЕМЕНТНАЯ БАЗА РАЗРАБАТЫВАЕМОГО УСТРОЙСТВА

Отладочная плата «BlackPill V2.0» с микроконтроллером *STM32F401CCU6* в корпусе *DFN-48* основана на высокопроизводительном процессоре *ARM Cortex-M4* 32-Бит, битовое ядро *RISC*, работающее на частоте до 100 МГц.

Микроконтроллер *STM32F401CCU6*

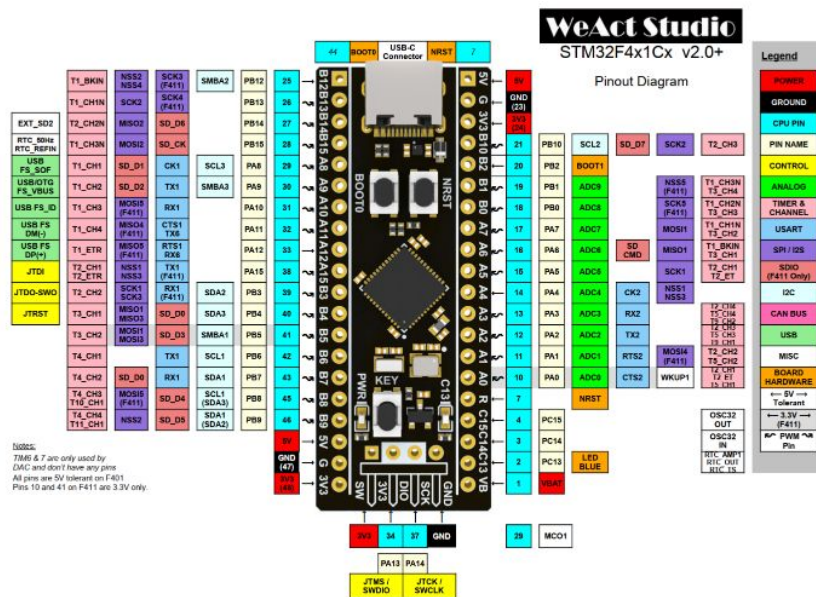
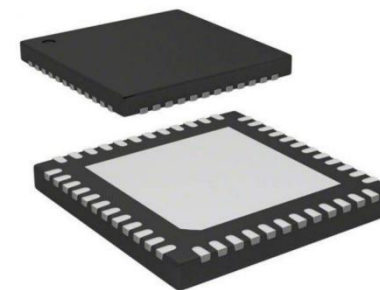
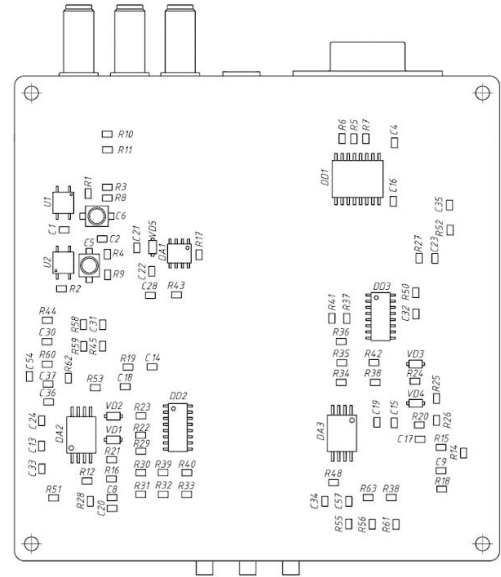
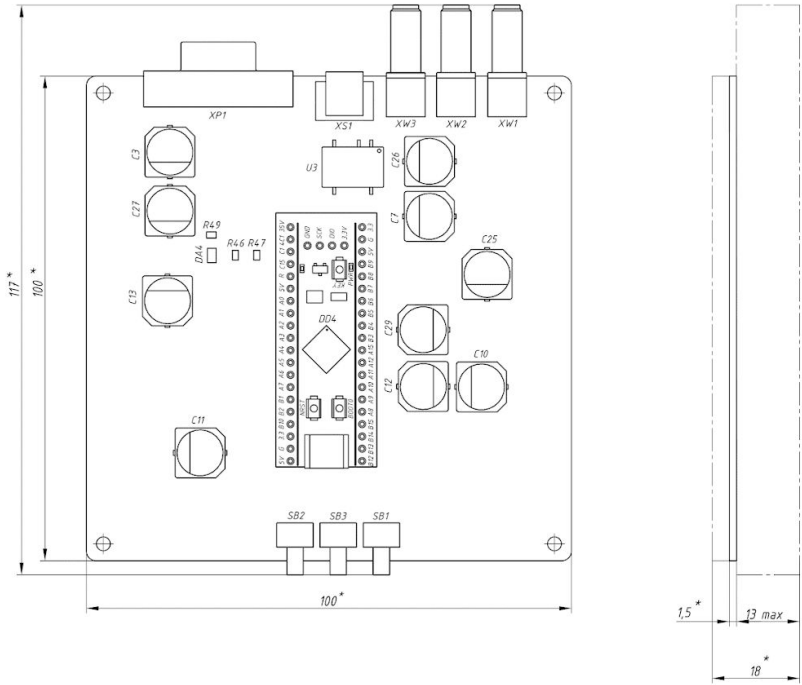


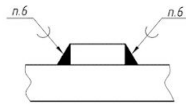
Таблица 1 – Технические параметры микроконтроллера *STM32F401CCU6*

| Технические параметры | Значения параметров |
|---------------------------------|---------------------|
| Корпус | <i>DFN-48</i> |
| Напряжение питания, В | 1,7...3,6 |
| Тактовая частота, МГц | 84 |
| Объем памяти программ, кбайт | 64 |
| Рабочая температура, °C | От -40 до +85 |
| Габаритные параметры, д×ш×в, мм | 6,15x6,15x1 |
| Масса, г | 1,8 |

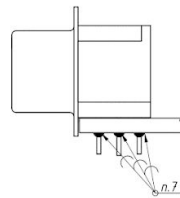
Рисунок 3 – Отладочная плата «BlackPill V2.0» с микроконтроллером *STM32F401CCU6*



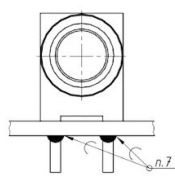
Установка SMD резисторов, конденсаторов (10.1)



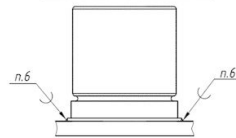
Установка VGA-разъема XP1 (4.1)



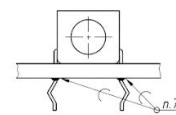
Установка коаксиальных гнезд XW1...XW3 (4.1)



Установка конденсаторов электролитических SMD (4.1)



Установка тактовых кнопок SB1...SB3 (4.1)



- * Размеры для справок.
- Установку элементов производить по ГОСТ 29137-91. Шаг координатной сетки 2,5 мм.
- Элементы C5, C6 установить по варианту 070.4.0701.00.00. Элементы VD1...VD5 установить по варианту 080.8.0903.00.00. Элемент DA4 установить по варианту 360.18.1101.00.00. Элементы DA2, DD2, DD3 установить по варианту 360.18.1102.00.00. Элементы U1, U2 установить по варианту 360.18.1103.00.00. Элементы DA1, DA3, DD1, U3 установить по варианту 360.18.1105.00.00.
- Нестандартные варианты установки выполнять по чертежу. Центры симметрии поверхностно-монтажных элементов установлены в узлах координатной сетки.
- Паяльная паста Milticoге MP218 DIN EN 29454, 1.1.2.B.
- Припой ISO-Core "RA" DIN EN 29454.1, 1.1.2.B.
- Покрyтие лак УР-231,02,4 ТУ5-21-14-60 кроме XP1, XS1, SB1...SB3, XW1...XW3.
- Остальные ТТ по СТБ 1022-96.

| | | | |
|----------------------------|-------------|----------|----------|
| ГЧНР.68724.3.018 СБ | | | |
| Изм. | Лист | № докум. | Подп. |
| Разработ | Свердлов | Маска | Масица |
| Проект | Борисовская | 25а | 2:1 |
| У.контр. | Борисовская | Лист | Листов 1 |
| Рис. | Собчук | | |
| А.контр. | Горбач | | |
| Экз. | Алексеев | | |

РАСЧЕТ ТЕПЛОВОГО РЕЖИМА

Таблица 2 – Результаты расчета теплового режима

| Параметр | Формула | Температура, К |
|----------|---------|----------------|
| | | 341,6 |
| | | 356,6 |
| | | 360,9 |
| | | 339,2 |
| | | 341,8 |

В результате расчета теплового режима осциллографической приставки каждый элемент на плате не превышает полученные значения температур, что говорит о целесообразности использования перфорированного корпуса для охлаждения элементной базы устройства.

РЕЗУЛЬТАТЫ МОДЕЛИРОВАНИЯ ТЕПЛОВОГО РЕЖИМА

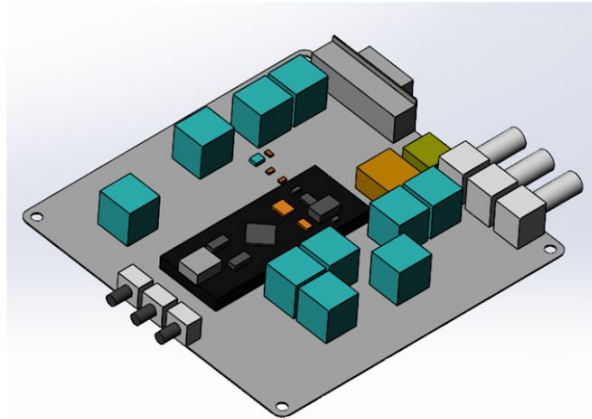


Рисунок 1 – 3D модель электронного модуля

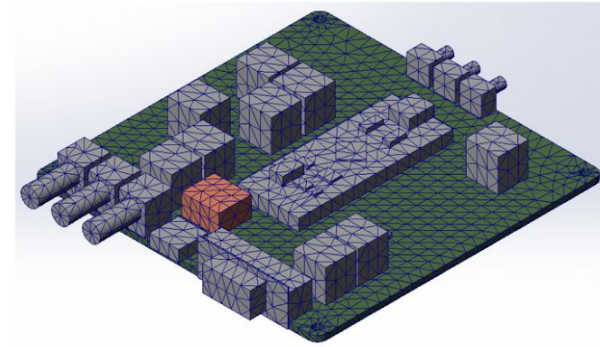


Рисунок 2 – Сетка модели электронного модуля

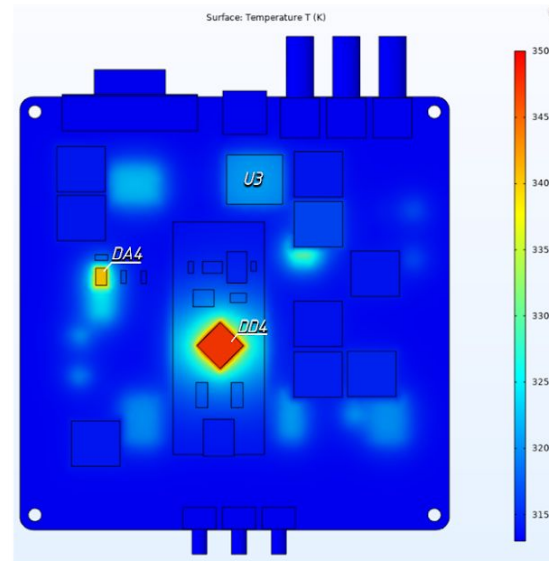


Рисунок 3 – Результат теплового моделирования (вид сверху)

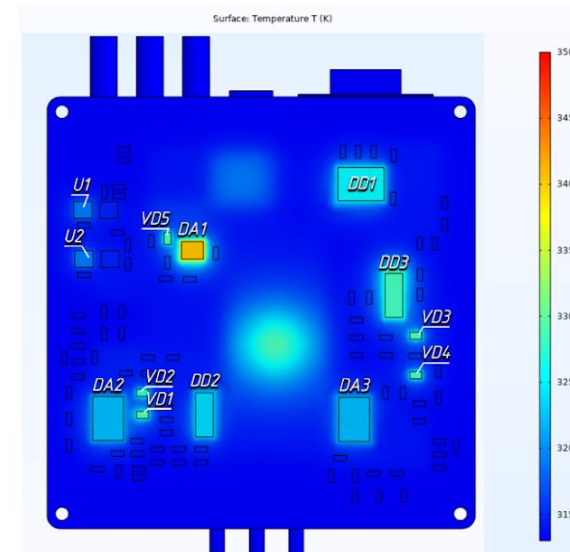


Рисунок 4 – Результат теплового моделирования (вид снизу)

МАКСИМАЛЬНАЯ ТЕМПЕРАТУРА – 347,6 К

РЕЗУЛЬТАТЫ МОДЕЛИРОВАНИЯ МЕХАНИЧЕСКИХ ВОЗДЕЙСТВИЙ

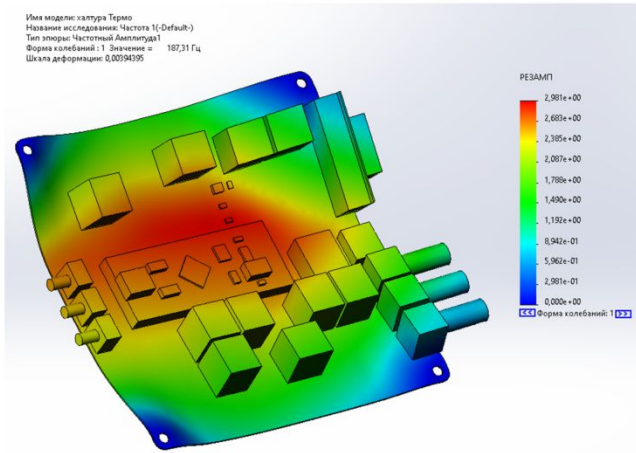


Рисунок 5 – Результат частотного анализа (изометрия)

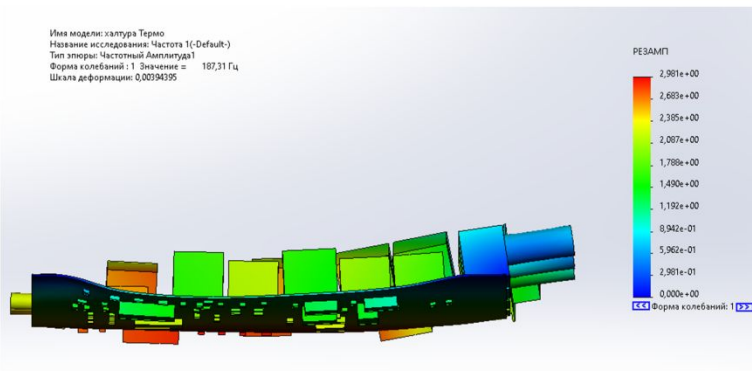


Рисунок 6 – Результат частотного анализа (вид сбоку)

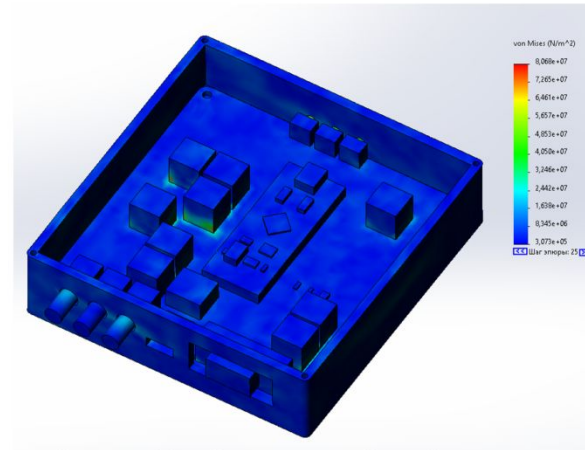


Рисунок 7 – Результат ударной нагрузки. Напряжение по Мизесу (изометрия)

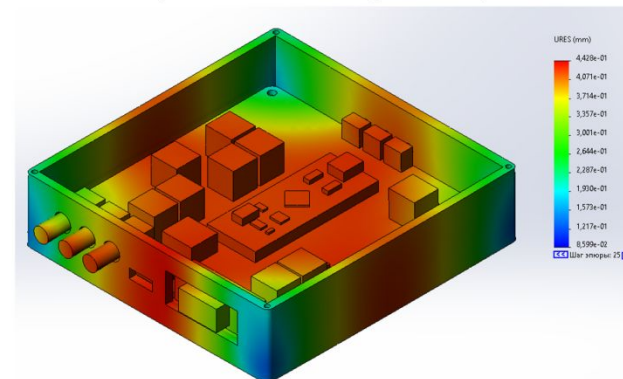


Рисунок 8 – Результат ударной нагрузки. Смещение элементов (изометрия)

Таблица 1 – Результаты моделирования механического воздействия

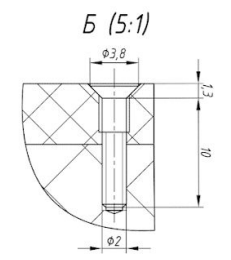
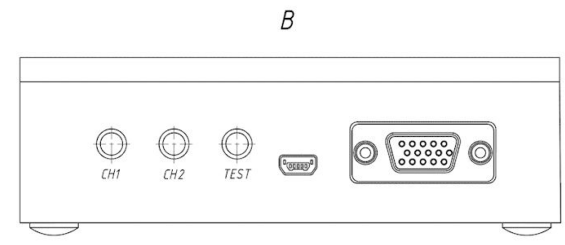
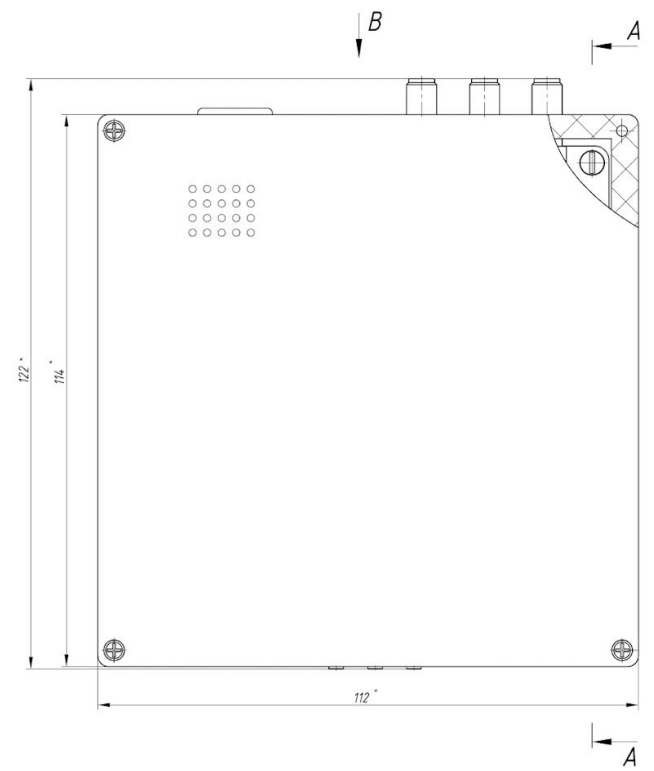
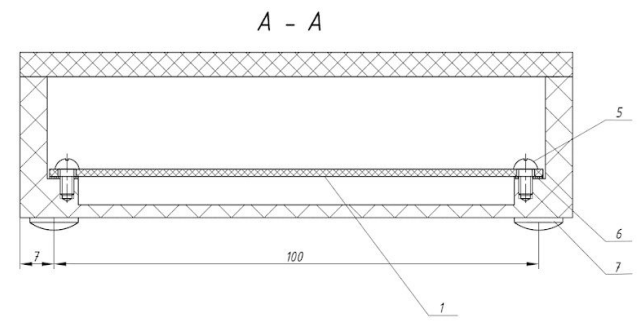
| Минимальная собственная частота, Гц | Результующее перемещение ПП, мм | Максимальное напряжение, Н/м ² | Максимальное смещение от исходного положения, мм |
|-------------------------------------|---------------------------------|---|--|
| 187,31 | 2,98 | $8,07 \times 10^7$ | 0,44 |

ПОЛНЫЙ РАСЧЕТ НАДЕЖНОСТИ

Таблица 3 – Результаты полного расчета надежности

| Показатель безотказности | Обозначение | Значение | Физический смысл показателя |
|--|-------------|------------|---|
| Наработка на отказ | T_0 | 24133,18 ч | Время безотказной работы РЭС между двумя соседними отказами будет составлять 24133,18 часов. |
| Вероятность безотказной работы за время $t_p = 1000$ ч | $P(t_p)$ | 0,96 | 96% исследуемых устройств должны работать безотказно в течении $t_p = 1000$ часов. |
| Гамма-процентная наработка до отказа | | 1237,87 ч | У 95% исследуемых устройств в течение суммарной наработки, равной 1237,87 часа, отказ не возникнет. |
| Вероятность отказа за заданное время | | 0,04 | Вероятность отказа устройства за время $t_p = 1000$ часов составит 4%. |

По результатам вычислений можно судить об удовлетворительных показателях безотказности РЭС и безотказной работе устройства в течение длительного периода времени.



- *Размеры для справок.
- Клей 88-Н ТУ38-1051061-82
- Остальные технические требования по СТБ 1022-96.

| | | | | | | |
|--------|--------|--------------|--------|--------|--------------|--------|
| Изд. № | Лист № | Взам. инв. № | Инв. № | Лист № | Взам. инв. № | Инв. № |
| | | | | | | |

| | | | | | | | |
|---|--|---------------|--|-------|------|---------------------|------------|
| Изм. | | Лист № докум. | | Подп. | Дата | ГЧИР.4.33111.018 СБ | |
| Осциллографическая приставка к VGA-монитору | | | | | | Лист | Магистраль |
| сварочный чертеж | | | | | | т | 0,3 2:1 |
| Разработчик: Горбач | | | | | | | |
| Проект: Гродненская | | | | | | | |
| Инженер: Гродненская | | | | | | | |
| Рис.: Собчук | | | | | | | |
| Инженер: Горбач | | | | | | | |
| Зам.: Алексеев | | | | | | ЛИКС, гр. 812601 | |



**Спасибо за
внимание!**